

АКАДЕМИЯ НАУК УКРАИНСКОЙ ССР
ИНСТИТУТ БИОЛОГИИ ЮЖНЫХ МОРЕЙ
ИМ. А.О. КОВАЛЕВСКОГО

ПРОВ 2010

МЕТОДЫ ОПРЕДЕЛЕНИЯ
РАДИОАКТИВНОСТИ

(Материалы симпозиума)

ИЗДАТЕЛЬСТВО «НАУКОВА ДУМКА»
КІЕВ—1972

3. Левинсон-Лессинг Ф.Ю., Дьяконова-Савельева Е.Н. Вулканическая группа Карадага в Крыму. Изд-во АН СССР, Л., 1938.
4. Слудский А.Ф. Записки Крымского общества естествоиспытателей и любителей природы, т. I, 1912, 33-43.
5. Смирнов А.Н. и др. Карадаг. Научно-популярные очерки. Изд-во АН УССР, К., 1959.
6. Ферсман А.Е. Кил. Техническая энциклопедия, 1930, т. IO, 154.
7. Цейтлин С.Г. Тр. Биогеохим. лаб. АН СССР, 1944, т. 7, 128.

Н.С.Рисик, Г.Г.Поликарпов, Х.Абдуллаев

ОПРЕДЕЛЕНИЕ УРАНА В МОРСКОЙ ВОДЕ И МОРСКИХ ОРГАНИЗМАХ МЕТОДОМ НЕЙТРОННОЙ АКТИВАЦИИ С ПРИМЕНЕНИЕМ ДИЭЛЕКТ- РИЧЕСКИХ ДЕТЕКТОРОВ

Существует большое количество химических, физико-химических и физических методов количественного определения урана в различных средах. Большинство из них требует предварительного химического выделения урана из проб или сложной и малодоступной аппаратуры.

Общепринятым методом, применяемым для определения микроточеств урана в морской воде и биоматериале, является люминесцентный. Этот метод основан на способности уранила в виде твердого раствора с фтористым натрием люминесцировать под действием ультрафиолетового излучения. С увеличением содержания урана в образцах интенсивность свечения линейно возрастает в диапазоне концентраций до $6 \cdot 10^{-5}$ г, что используется для количественного определения [5].

Однако на точность определения урана оказывают большое влияние присутствующие в пробах гасящие примеси (*Cu*, *Mn*, *Cr*, *Pb*, *Fe*, *Bi*, *Co*, *Ni* и др.), которые снижают яркость люминесценции [5]. Для отделения урана от примесей гасителей применяют экстрагирование его трибутилфосфатом [7], соосаждение уранилроданидного комплекса с осадком роданида метилвиолета [6], адсорбцию на угле [3].

В последние годы получили распространение диэлектрические детекторы заряженных частиц и с помощью их определение концентрации урана. Это один из наиболее чувствительных методов (табл. I).

Начало разработки этой методики было положено Силком и Барнесом [12], Прайсом и Уокером [14], которые применили слюду для регистрации следов осколков деления урана. Но ввиду того, что в то время еще не могли устранить высокий фон следов от осколков деления примесных ядер урана, этот детектор не нашел широкого применения.

Таблица I

Наиболее чувствительные методы определения урана

Метод	Чувствительность определения, %	Литературный источник
Радиоактивационный	$1 \cdot 10^{-7}$	[10, II]
Кулонометрический	$2,5 \cdot 10^{-8}$	[19]
Люминесцентный	$1 \cdot 10^{-8}$	[5, 7]
Нейтронной активации с применением диэлектрических детекторов	$1 \cdot 10^{-8}$	[1, 2, 4]

В дальнейшем были найдены новые детекторы и разработана методика для определения концентрации урана в твердых телах [2], минералах [4] и растениях [1] и в усовершенствованном виде применена авторами для определения микроколичеств урана в морской воде и гидробионтах.

К диэлектрическим детекторам, применяемым для определения урана, предъявляются следующие требования: 1) достаточно высокая эффективность регистрации; 2) низкое содержание делящихся веществ в детекторе; 3) отсутствие чувствительности к легким заряженным частицам, нейtronам и гамма-лучам.

Этим требованиям больше всего соответствует лавсан (полиэтиленгликольтерефталат), эффективность которого $88 \pm 5\%$, содержание урана менее 10^{-10} г/г, нечувствителен к легким заряженным частицам и к гамма-лучам [2].

Из лавсана, толщиной 20 мк, изготавливаются пакеты размером 2 x 2,5 см. В эти пакеты помещаются предварительно отожженные в муфельной печи при температуре 500–600°C или высушенные до постоянного веса пробы гидробионтов.

Для анализа морской воды достаточно пробы 15–20 мл. Это количество воды выпаривается в фарфоровом тигле. Полученный осадок солей доводят до постоянного веса, взвешивают и помещают в лавсановый пакет.

Навески проб, необходимые для анализа, 100–200 мг могут быть в виде порошка или прессованных таблеток.

Лавсановые пакеты с анализируемыми пробами помещают в специальный контейнер. Вместе с пробами помещают второй детектор (силикатное стекло) в контакте с препаратом урана. Затем контейнер с пробами облучают на реакторе потоком тепловых нейтронов. Интегральный поток нейтронов составляет 10^{14} – 10^{16} н/см².

Тепловые нейтроны вызывают деление ядер урана. Осколки ядер

попадают в лавсановый детектор и вызывают в нем нарушения структуры, имеющие форму треков диаметром 100 Å и длиной порядка 10 мк.

После облучения из лавсановых пакетов удаляют пробы и вырезают полоски лавсана размером 1,5x2 см, которые подвергают химическому травлению KOH с удельным весом 1,35 при температуре 20°С в течение 18-20 час. При повышении температуры время травления уменьшается.

После травления следы осколков увеличиваются в диаметре до 5-10 мк, что позволяет вести их поиски и подсчет на оптических микроскопах. Размер площади подсчета выбирается в зависимости от числа следов осколков на лавсане.

Поскольку препарат урана и исследуемый образец облучаются в одинаковых условиях, концентрацию урана определяют из соотношения плотностей следов от осколков, зарегистрированных на этих детекторах по следующей формуле [2]

$$c_B = \frac{c_A \cdot N_2 \cdot \varepsilon_1}{N_1 \cdot R_{\text{эфф}}},$$

где N_1 и N_2 - плотность следов осколков деления на детекторах, находившихся в контакте с препаратом и исследуемым образцом; c_A - количество урана на препарате, мг/см²; ε_1 - эффективность детектора, находившегося в контакте с препаратом; $R_{\text{эфф}}$ - эффективная толщина исследуемого образца, мг/см²; c_B - количество урана, г/г; ε_1 - для силикатного стекла 40 ± 3%; $R_{\text{эфф}}$ - определяется следующим образом. Исходя из известного химического состава морской воды и морских организмов [15], вычисляется средний атомный номер - \bar{Z} и по графику зависимости эффективной толщины слоя $R_{\text{эфф}}$ от атомного номера поглотителя Z (см. рисунок) определяется $R_{\text{эфф}}$ исследуемого образца. Для морской воды и некоторых организмов $R_{\text{эфф}}$ приведены в табл. 2.

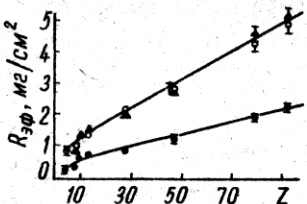
Ошибка в определении концентрации урана с помощью диэлектрических детекторов составляет ±10%. Она определяется в основном неточностью в измерении эффективности регистрации детектора ε_1 , толщины слоя $R_{\text{эфф}}$ (±5-7%) и статистическими ошибками в измерении плотностей следов N_1 и N_2 на детекторах [2].

Данные по определению концентрации урана в морской воде и морских организмах приведены в табл. 2, где также рассчитаны коэффициенты накопления урана для данных организмов. Коэффициент накопления показывает способность организма аккумулировать тот или иной изотоп (элемент) и выражается отношением концентрации радиоизотопа (элемента) в организме и в водном растворе [8, 13].

Как видно из табл. 2, наибольшие величины коэффициентов на-

Таблица 2
Концентрация урана в морских организмах и морской воде в районе Карадага в Крыму

Объект	Сырой вес Вес золы	$R_{\text{эф.}}^2$ мг/см ²	Число проб	$n \cdot 10^{-6}$, г/г золы	$n \cdot 10^{-7}$, г/г сыр. веса	Коэффициенты накопления
Водоросли:						
<i>Cystoseira barbata</i> (молодые талломы)	16,5	1,30	5	$2,71 \pm 0,29$	$1,64 \pm 0,16$	60 ± 6
<i>Padina pavonia</i>	10,2	1,38	3	$4,98 \pm 0,30$	$4,88 \pm 0,30$	170 ± 11
Высшие цветковые рас- тения:						
<i>Zostera marina</i>	15,0	1,25	1	3,33	2,21	76,0
Моллюски:						
<i>Mytilus galloprovin- tello</i>	23,1	1,53	3	$5,57 \pm 0,20$	$2,41 \pm 0,09$	87 ± 3
<i>Mytilus galloprovin- cialis</i> раковина	1,3	1,43	3	$3,01 \pm 0,38$	$23,1 \pm 2,90$	830 ± 105
Рыбы:						
<i>Scorpaena porcus</i>	20,2	1,46	5	$0,31 \pm 0,17$	$0,16 \pm 0,08$	$6,0 \pm 2$
Морская вода	-	1,40	5	$2,76 \pm 0,25$ г/л		



Зависимость эффективной толщины слоя $R_{\text{эф}}$ от атомного номера поглотителя Z :
 ⬤ - лавсан; ⬧ - слюда; ⬤ - силикатное стекло [2].

копления наблюдаются у раковин мидий *Mytilus galloprovincialis*-830, а наименьшие - в рыбах *Scograena porcus*-6.

Одним из преимуществ определения урана с помощью диэлектрических детекторов является возможность производить радиографию исследуемых образцов. Так, в данной работе при просмотре лавсановых детекторов (увеличение 125-300 раз) авторами обнаружено, что в теле мидий встречаются одиночные скопления урана в виде его микрочастиц размером 5-10 мк. Микрочастицы найдены как в золе мидий, так и в высушеннем теле этих моллюсков.

Выводы

1. Показана применимость диэлектрических детекторов для определения концентрации урана в морской воде и морских организмах.

2. Определены концентрации и оценены величины коэффициентов накопления урана в природных условиях в некоторых черноморских организмах.

3. С помощью диэлектрических детекторов обнаружены микроскопления урана в теле мидий, что указывает на возможность использования диэлектрических детекторов в изучении пространственного распределения урана в исследуемых образцах.

Литература

- Абдуллаев Х., Захватаев Б.Б., Перельгин В.П. Определение концентрации урана в растениях по следам осколков деления урана. Препринт ОИЯИ, З-3396, Дубна, 1967а.
- Абдуллаев Х., Капусцик А. Отгонсурен О., Перельгин В.П., Чултэм Д. Определение концентрации делящихся веществ в твердых телах. Препринт ОИЯИ, Р 12-3243, Дубна, 1967 б.
- Батурин Г.Н., Коченов А.В., Ковалева С.А. Некоторые особенности распределения урана в водах Черного моря. "ДАН СССР", 1966, т.166, № 3.

4. Берзина И.Г., Берман И.Б., Гурвич М.Ю., Флеров Г.Н., Шимелевич
вич Ю.С. Определение концентрации урана и его пространствен-
ного распределения в различных минералах и горных породах.
Препринт ОИЯИ, Р 13-3159, Дубна, 1967.
5. Добровольская Т.С. Люминесцентный метод. - Аналитическая химия
урана. Гл. ред. Виноградов А.П. Изд-во АН СССР, М., 1962.
6. Кузнецов В.И., Акимова Т.Г. Органические соосади-
тели. Сообщение 8. Соосаждение урана при его определении
в морской воде. - Аналитическая химия, 1958, т.13, в.1.
7. Немодрук А.А., Веротницкая И.Е. Экстракционно-люминесцентный
метод определения урана в почвах, илах, растениях и тканях
животных. - Аналитическая химия, 1962, т.УП, в.4.
8. Поликарпов Г.Г. Радиоэкология морских организмов. Атомиздат,
М., 1964.
9. Уdal'цова К.И. Кулонометрическое определение урана. - В кн.:
Аналитическая химия урана, Изд-во АН СССР, М., 1962.
10. Шашкин В.Л. Методы анализа естественных радиоактивных элемен-
тов. М., 1961.
11. Яковлев Ю.В. Радиоактивный метод определения урана. - В кн.:
Аналитическая химия урана, Изд-во АН СССР, М., 1962.
12. Silk E.C.H., Barnes R.S. Examination of fission fragment
tracks with an electron microscope. Phylos., 1959,
Mag. 4, 44.
13. Policarpov G.G. Radioecology of aquatic organisms. North.
Holl. Publ. Co. Reinhold Book Div. Amsterdam-New-York,
1964.
14. Price P.B., Walker R.M. Chemical etching of charged particle
tracks in solids. Appl. Phys., 1962, v. 33, N 3407.
15. Vinogradov A.P. The elementary chemical composition of mari-
ne organisms. New Haven, 1953.

А.К.Грибков, Л.Д.Сошин

МЕТОДЫ ОБРАБОТКИ СЛОЖНЫХ СЦИНТИЛЛАЦИОННЫХ ГАММА-СПЕКТРОВ

Высокая светосила сцинтилляционных спектрометров, несмотря
на их низкую разрешающую способность, делает их незаменимыми в
гамма-спектроскопии малых активностей. Однако получение информации
о спектральном составе и интенсивности регистрируемого γ -излуче-
ния сильно затруднено не столько из-за малой статистики, сколько